

**Zeitschrift:** Bericht der Eidgenössischen Kommission zur Überwachung der Radioaktivität

**Herausgeber:** Eidgenössische Kommission zur Überwachung der Radioaktivität

**Band:** 30 (1987-1988)

**Heft:** 2: Figuren & Tabellen

**Anhang:** [Figuren 4]

### **Nutzungsbedingungen**

Die ETH-Bibliothek ist die Anbieterin der digitalisierten Zeitschriften. Sie besitzt keine Urheberrechte an den Zeitschriften und ist nicht verantwortlich für deren Inhalte. Die Rechte liegen in der Regel bei den Herausgebern beziehungsweise den externen Rechteinhabern. [Siehe Rechtliche Hinweise.](#)

### **Conditions d'utilisation**

L'ETH Library est le fournisseur des revues numérisées. Elle ne détient aucun droit d'auteur sur les revues et n'est pas responsable de leur contenu. En règle générale, les droits sont détenus par les éditeurs ou les détenteurs de droits externes. [Voir Informations légales.](#)

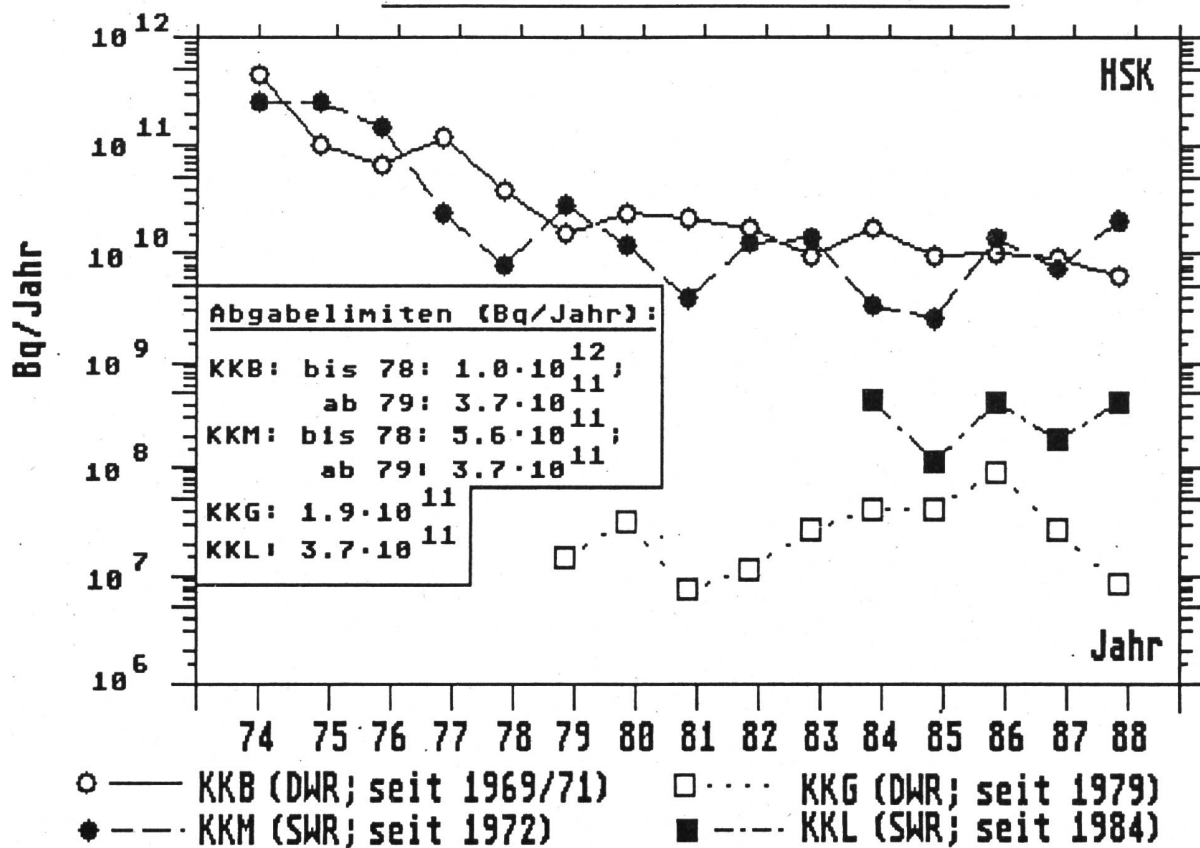
### **Terms of use**

The ETH Library is the provider of the digitised journals. It does not own any copyrights to the journals and is not responsible for their content. The rights usually lie with the publishers or the external rights holders. [See Legal notice.](#)

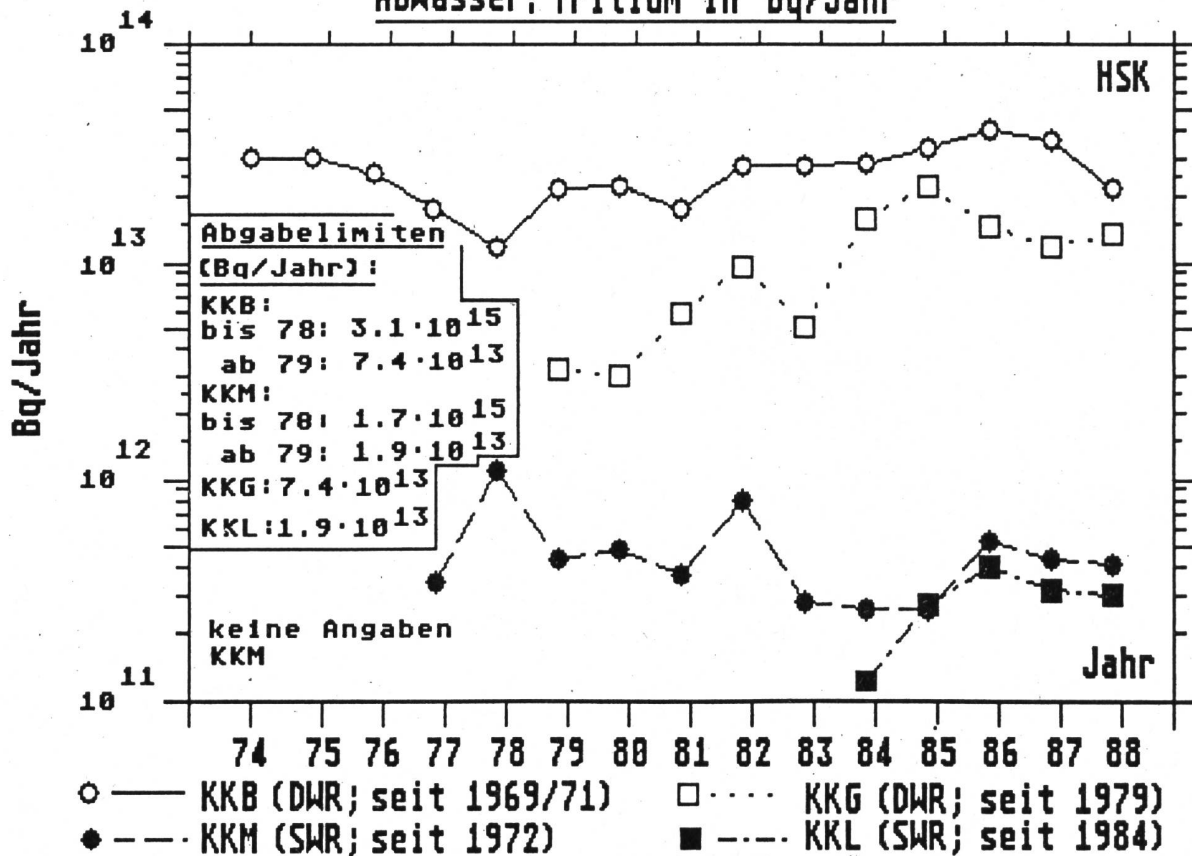
**Download PDF:** 01.04.2025

**ETH-Bibliothek Zürich, E-Periodica, <https://www.e-periodica.ch>**

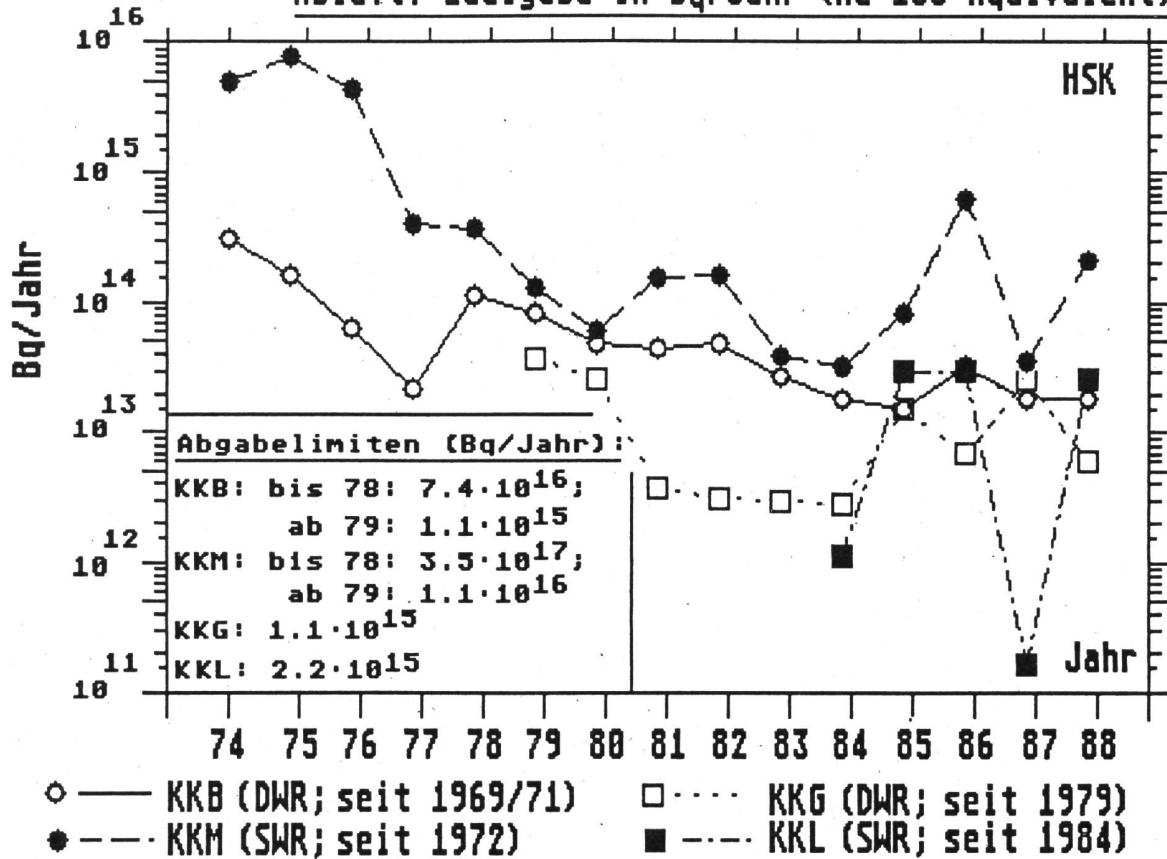
**Fig.4.1: Flüssige Abgaben der Kernanlagen:  
Abwasser (ohne Tritium) in Bq/Jahr**



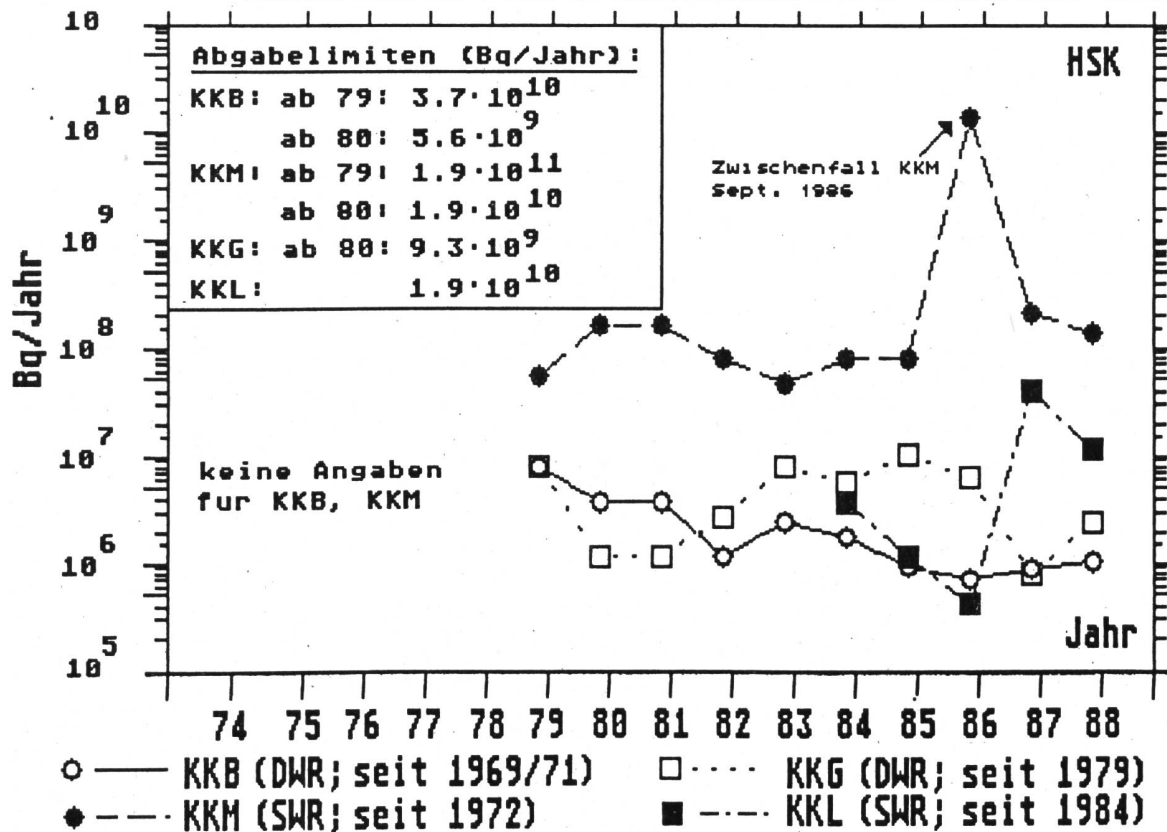
**Fig.4.2: Flüssige Abgaben der Kernanlagen:  
Abwasser: Tritium in Bq/Jahr**



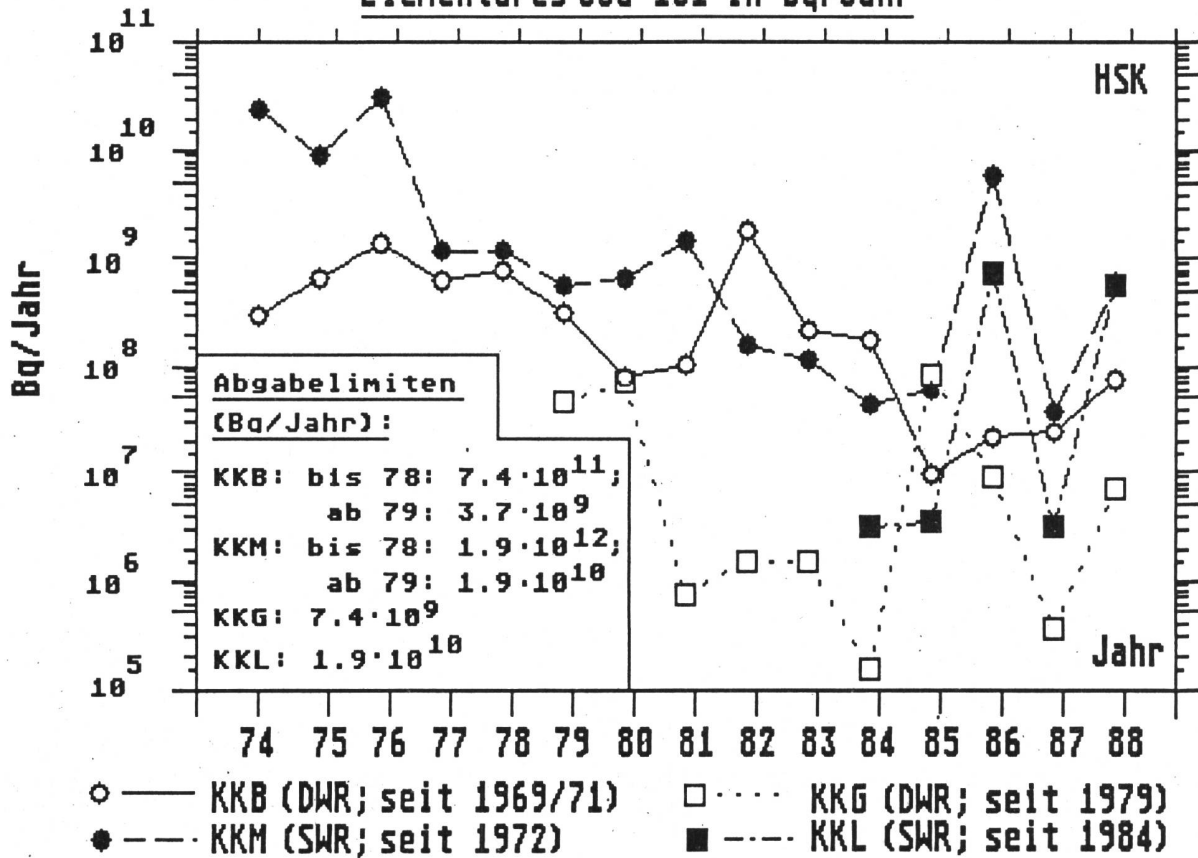
**Fig.4.3: Gasförmige Abgaben der Kernanlagen:  
Abluft: Edelgase in Bq/Jahr (Xe-133-Äquivalent)**



**Fig.4.4: Gasförmige Abgaben der Kernanlagen:  
Aerosole (HWZ > 8d; ohne gasförmiges Jod) in Bq/Jahr**



**Fig.4.5: Gasförmige Abgaben der Kernanlagen:  
Elementares Jod-131 in Bq/Jahr**



**Fig. 4.6:  
Maximale jährliche Personen-Dosen in der Umgebung der KKW**

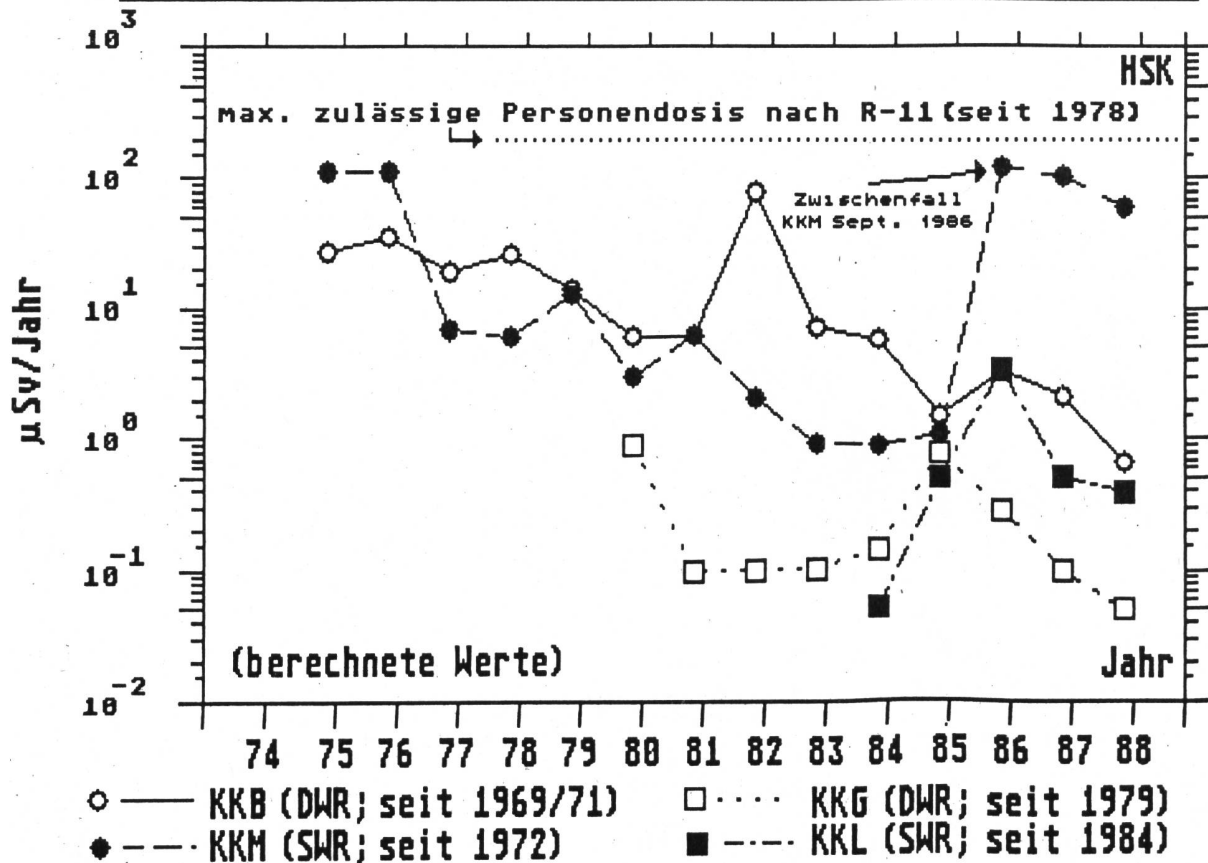


Fig. 4.7: Ortsdosisleistung gemessen mit Ionisationskammer UFEM HORN (UMGEBUNG KKM)

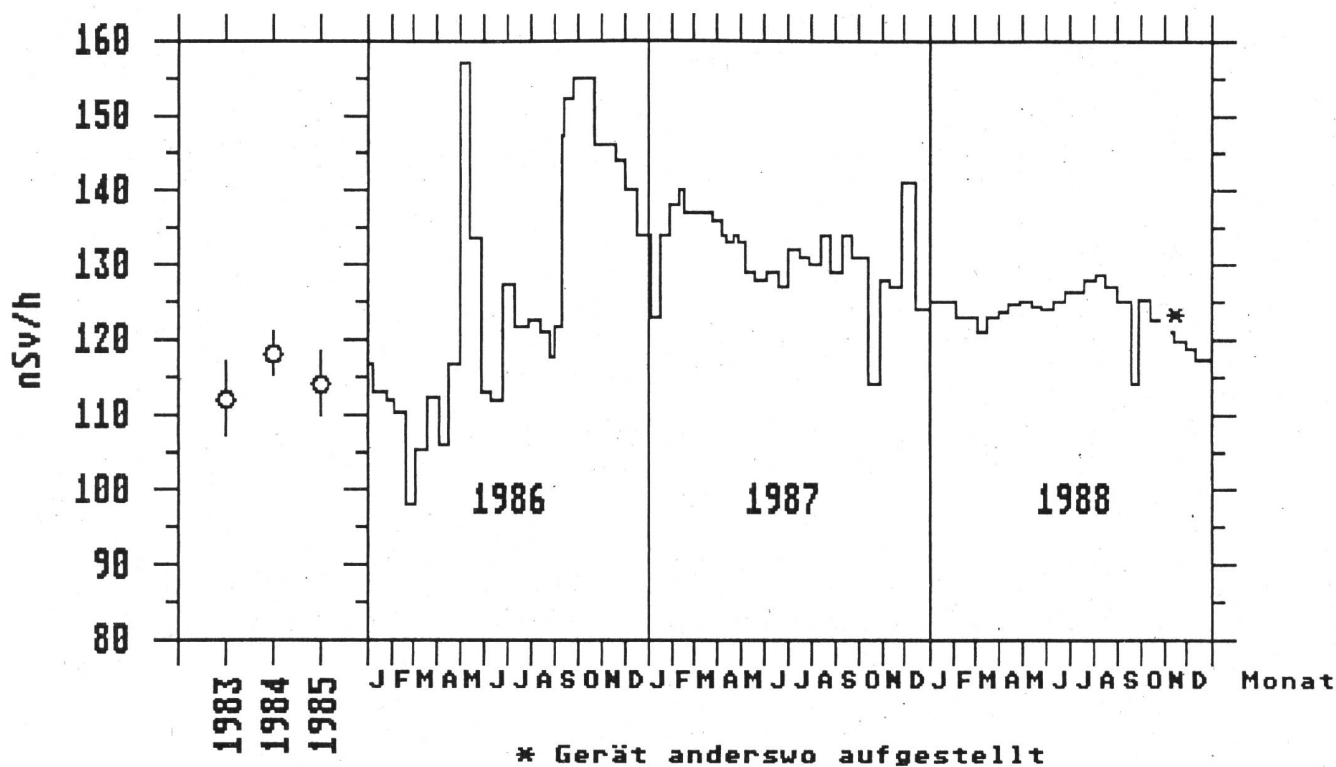


Fig. 4.8: Ortsdosisleistung gemessen mit Ionisationskammer NIEDERRUNTIGEN KKW-SCHALTZENTRALE (UMGEBUNG KKM)

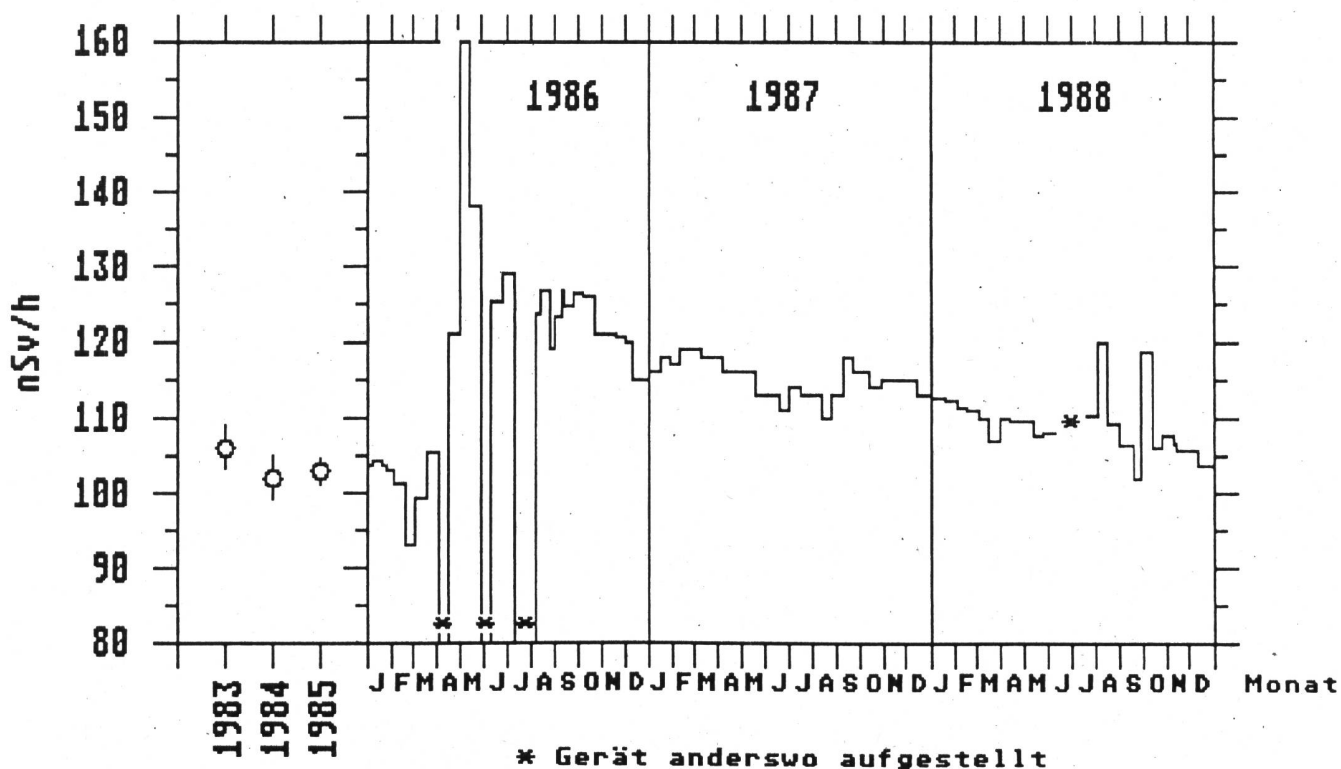


Fig.4.9: Ortsdosisleistung gemessen mit Ionisationskammer NIEDERGÖSGEN (UMGEBUNG KKG)

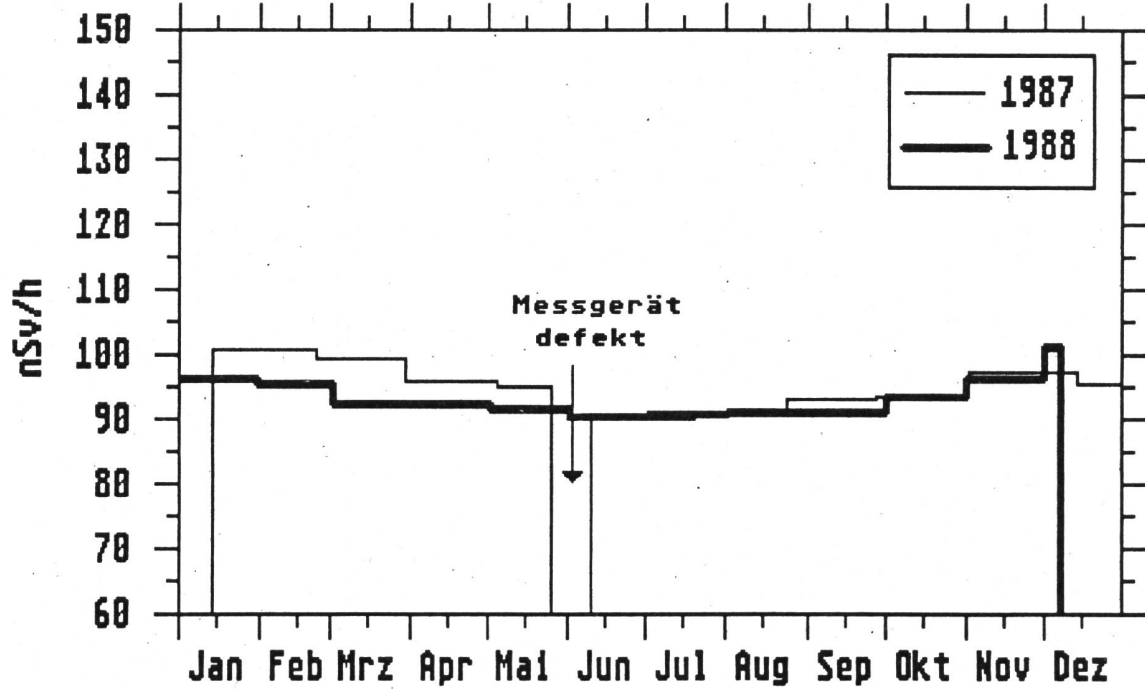


Fig.4.10: Ortsdosisleistung gemessen mit Szintillationdetektor Wasserkraftwerk BEZNAU (UMGEBUNG KKB)

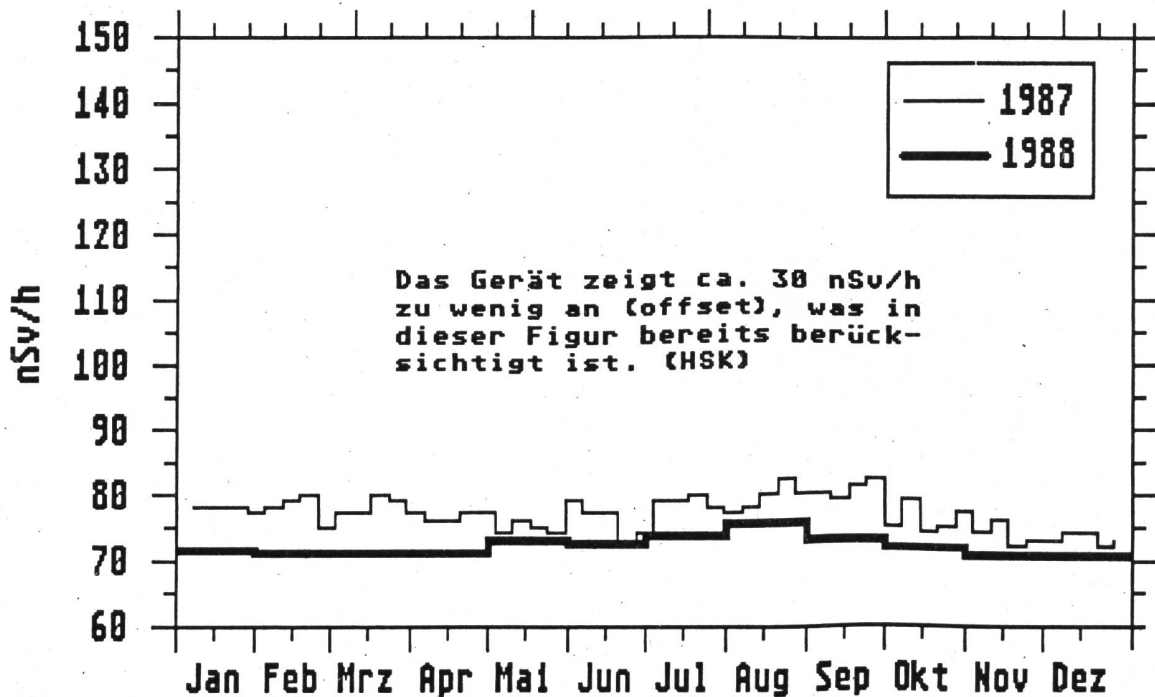




Fig. 4.13: Ortsdosis gemessen beim KKM am 18.5.88  
(BKW-Schaltzentrale 800 m ENE des KKM)

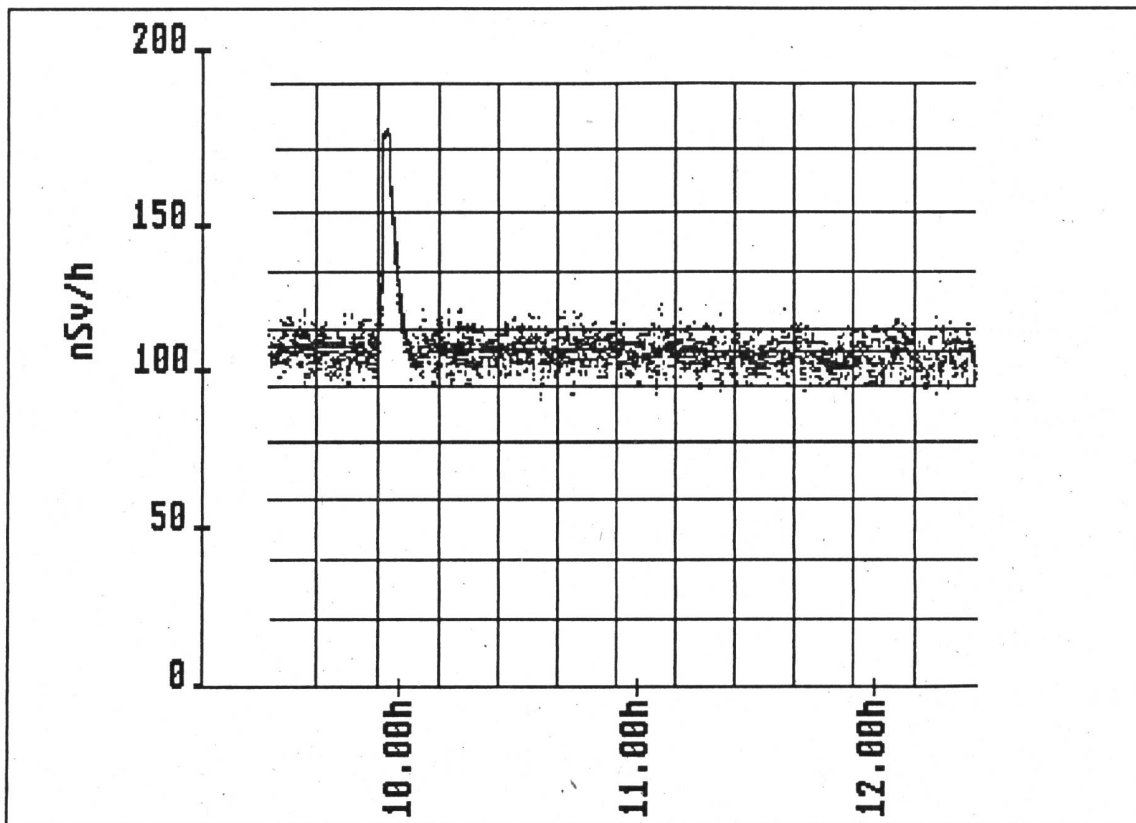




Fig.4.14: In situ-Messungen beim KKW Mühleberg ("Ufem Horn")  
Beiträge zur Ortsdosisleistung und Flächenbelegung  
(Messungen vom 07.06.1988)

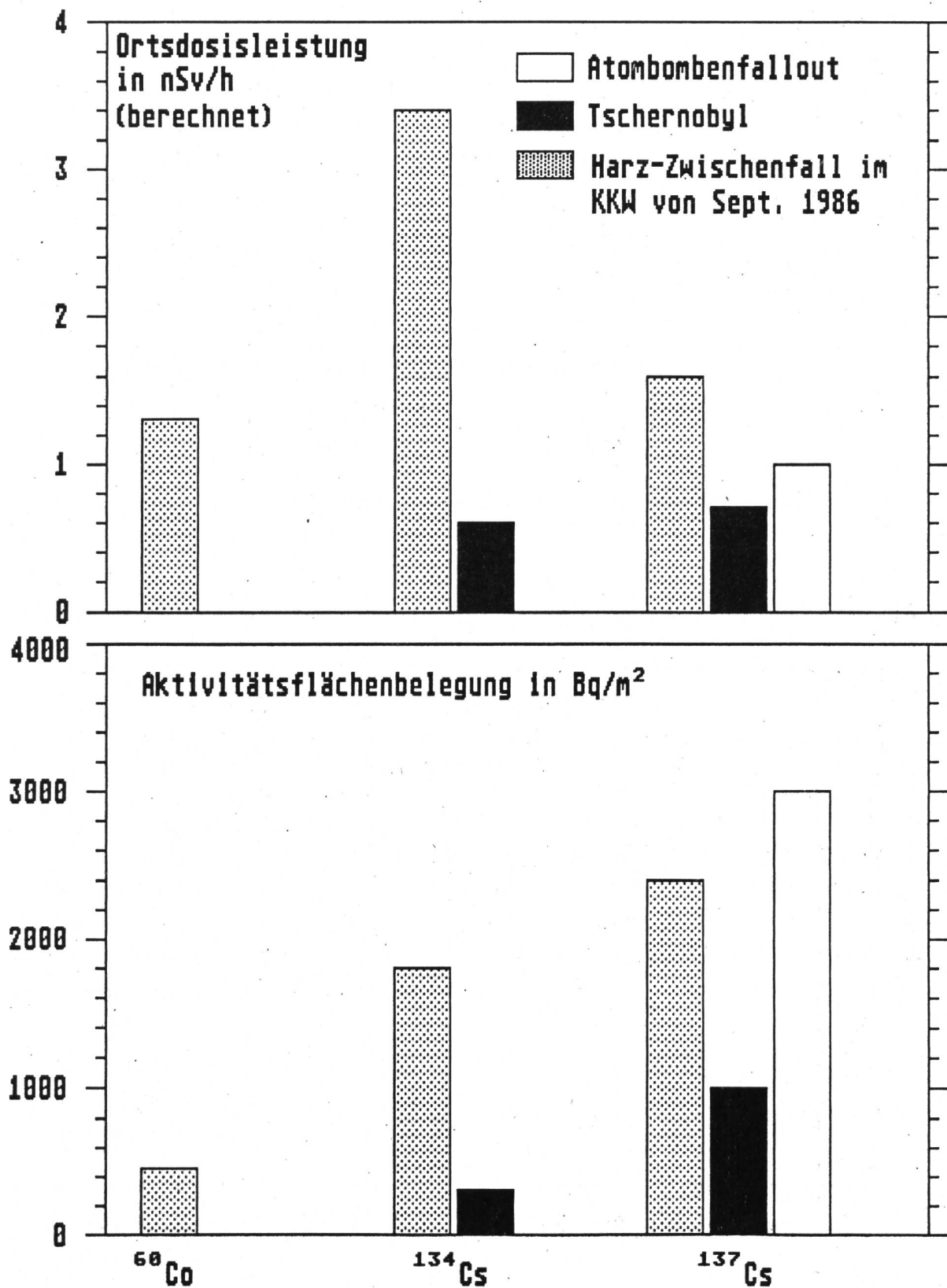


Fig.4.15: Auf Vaselinplatten abgelagerte Gesamt- $\beta$ -Aktivität

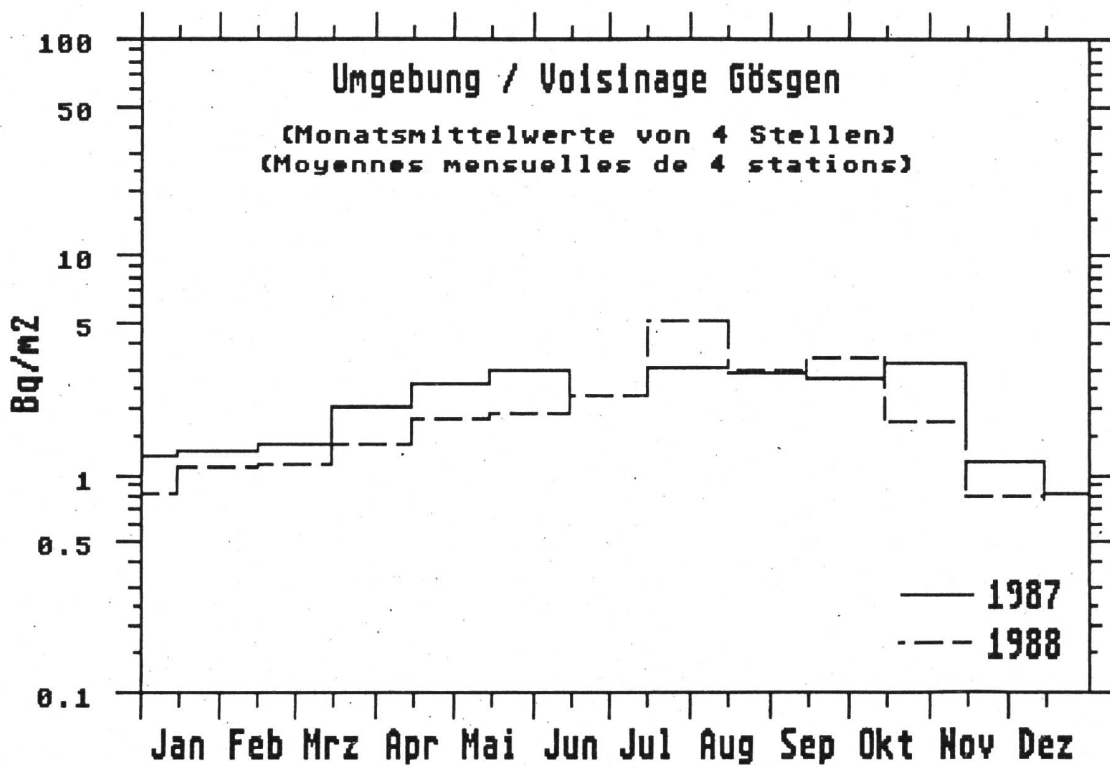


Fig.4.16: Auf Vaselinplatten abgelagerte Gesamt- $\beta$ -Aktivität

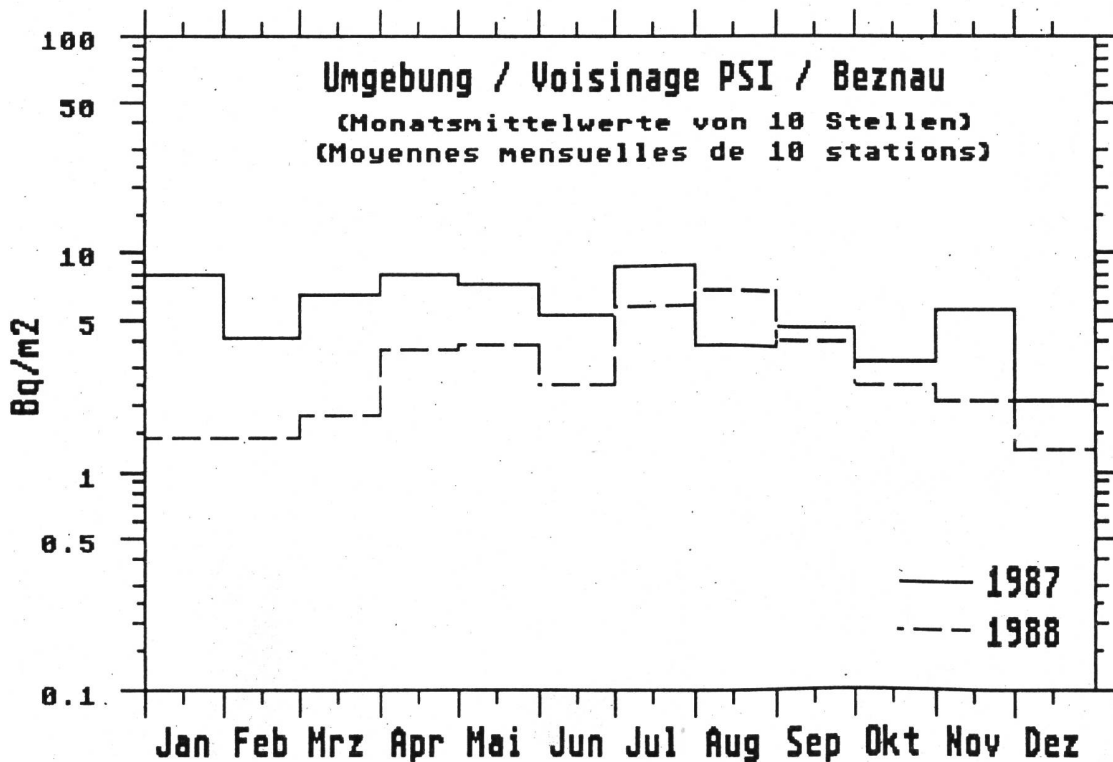


Fig.4.17: Auf Vaselinplatten abgelagerte Gesamt- $\beta$ -Aktivität

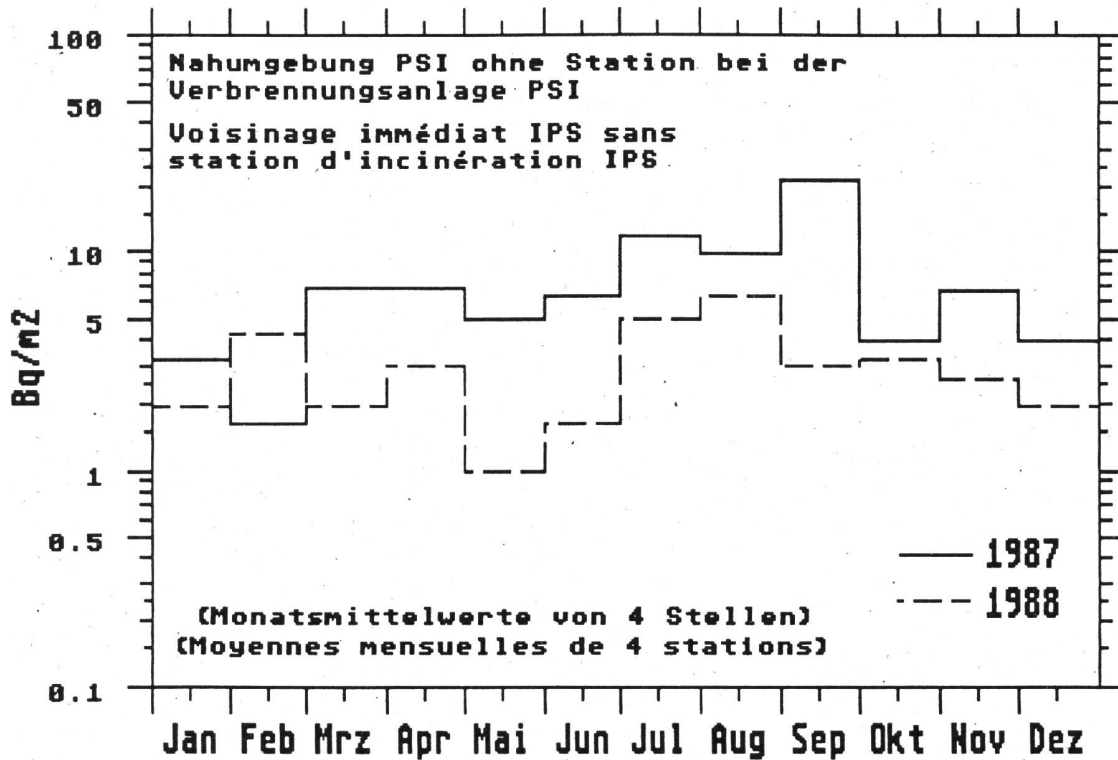


Fig.4.18: Auf Vaselinplatten abgelagerte Gesamt- $\beta$ -Aktivität

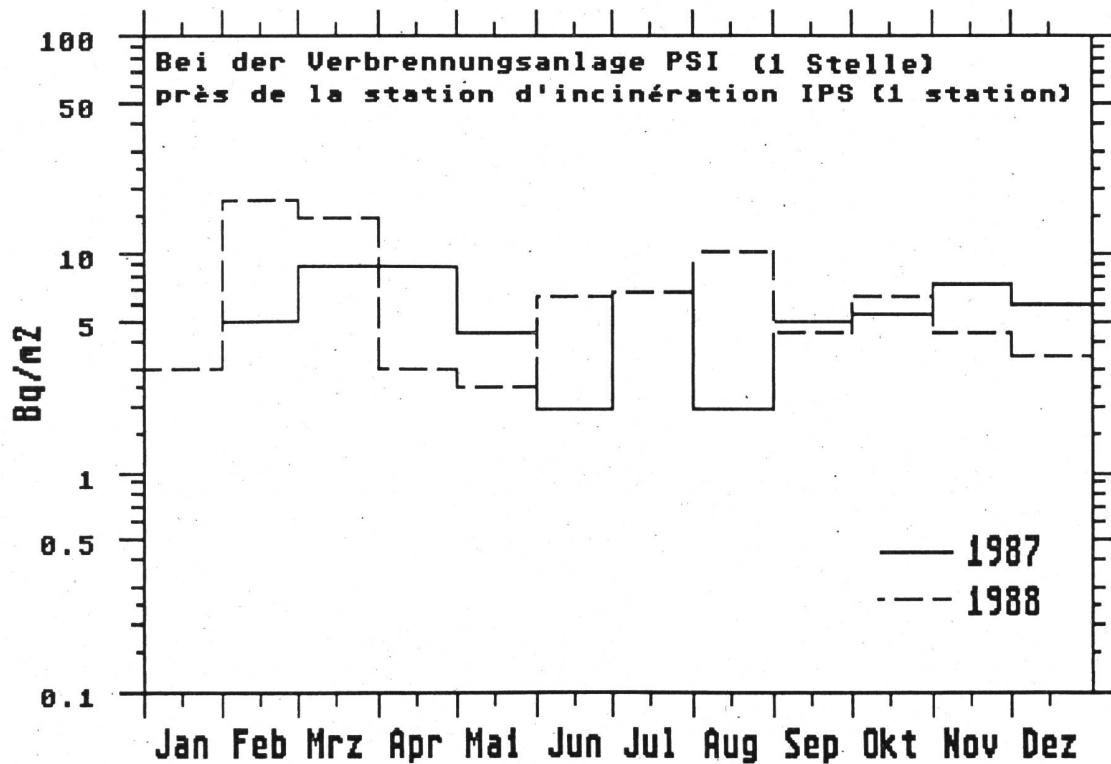


Fig.4.19: Auf Vaselineplatten abgelagerte Gesamt- $\beta$ -Aktivität

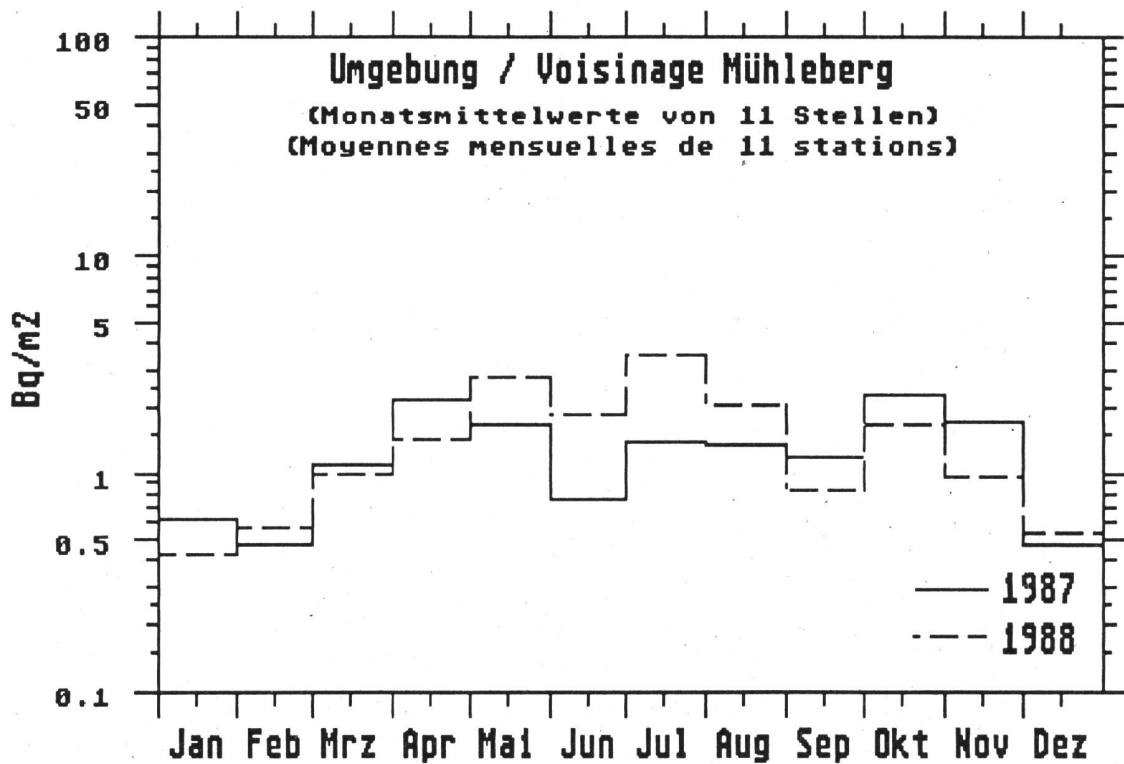


Fig.4.20: Auf Vaselineplatten abgelagerte Gesamt- $\beta$ -Aktivität

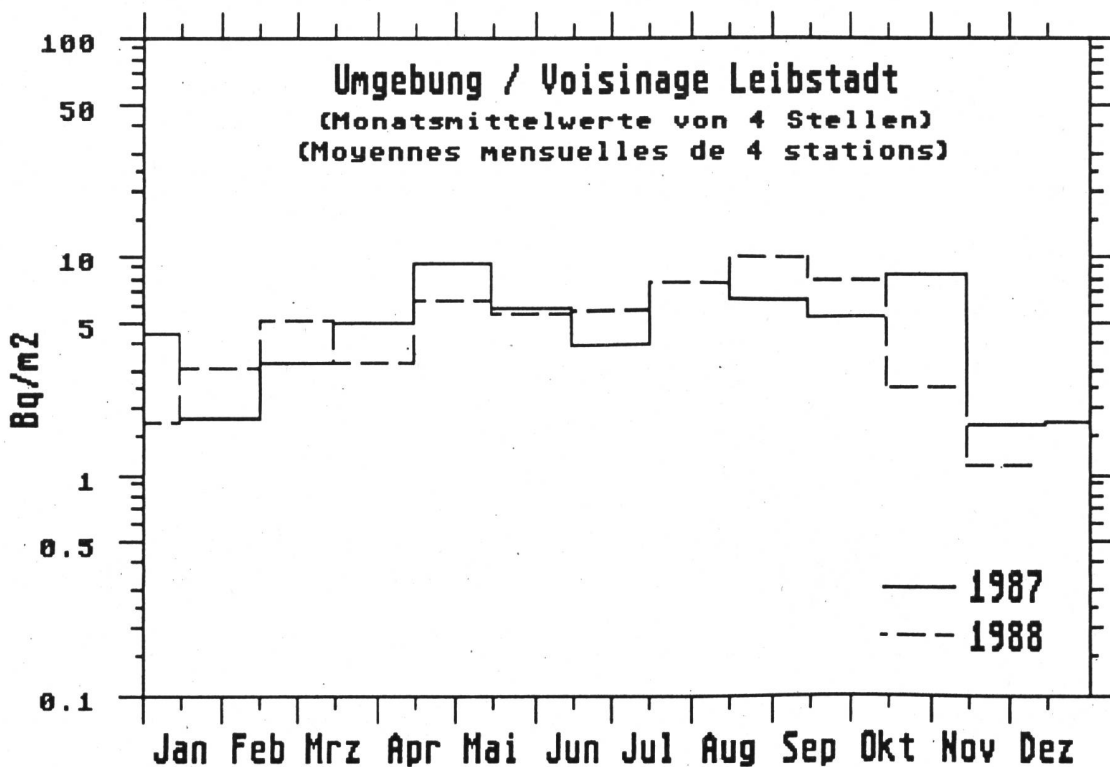


Fig.4.21: Gesamt-Beta-Akt. Grundwasser Umgebung KKW

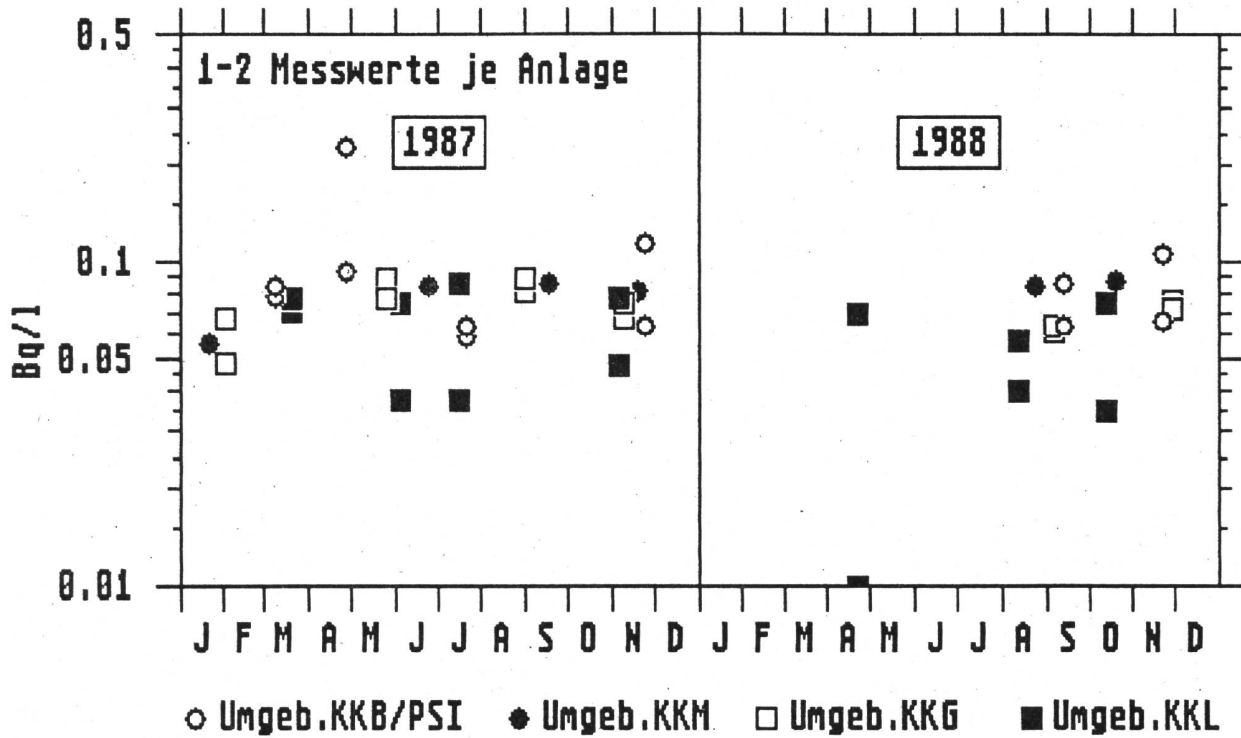


Fig.4.22: Tritium-Akt. Grundwasser Umgebung der KKW

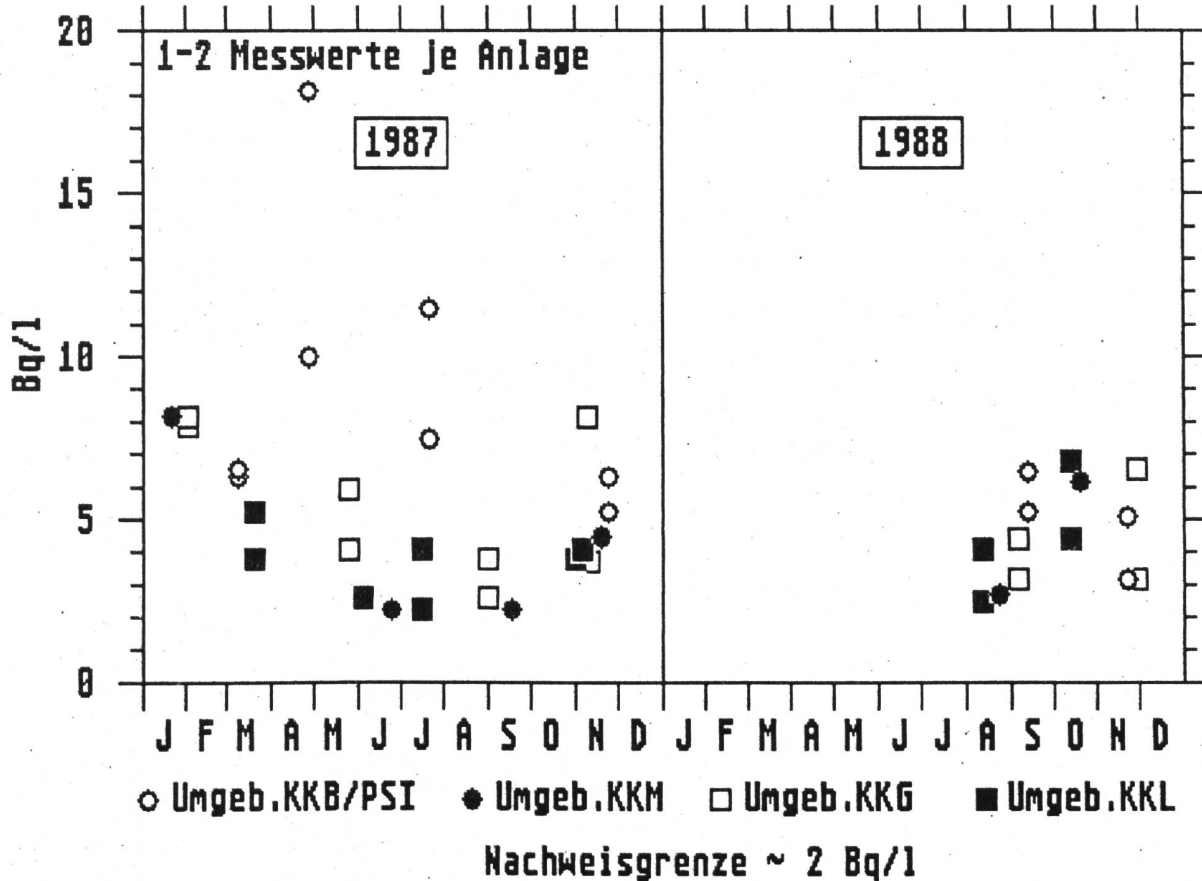


Fig.4.23: Gesamt-Beta: Schwebestoffe Umgebung KKW

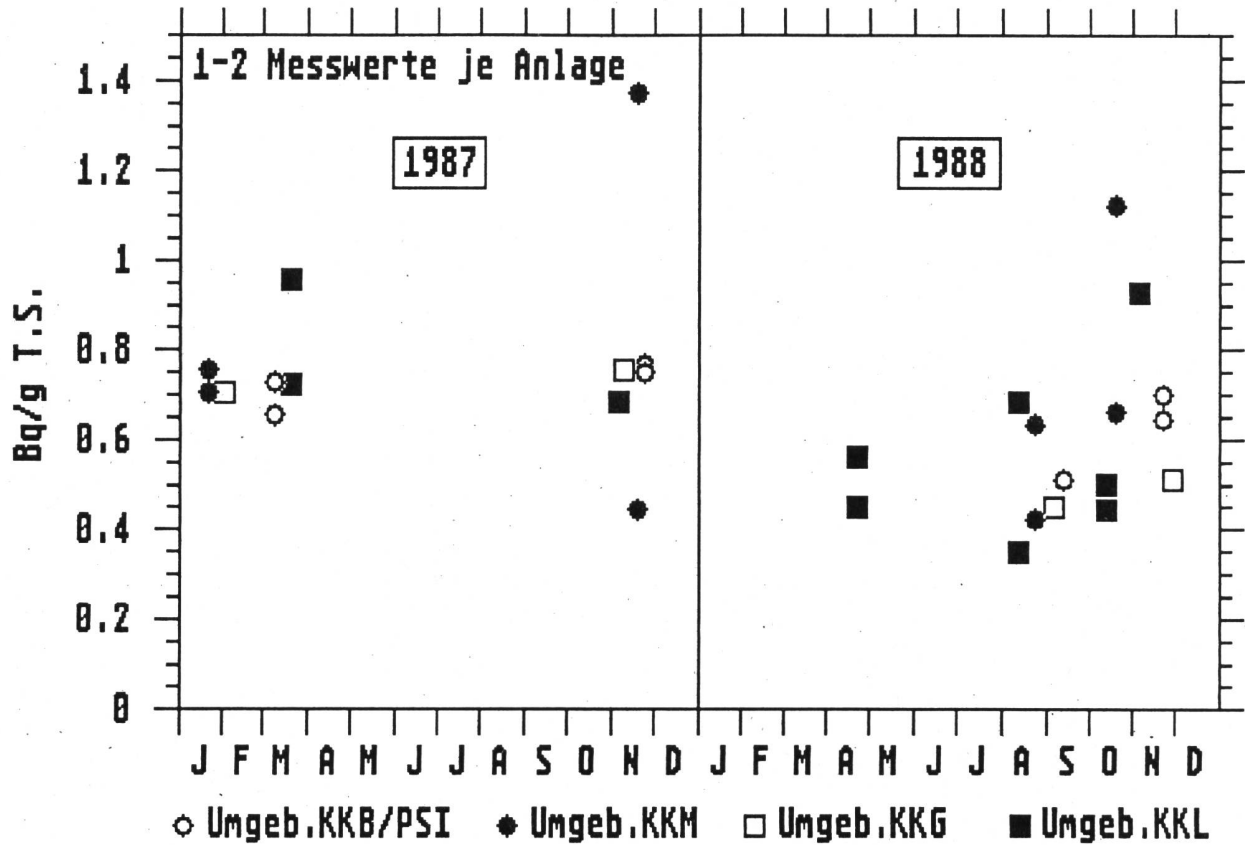


Fig.4.24: Gesamt-Beta: Flusswasser Umgebung KKW

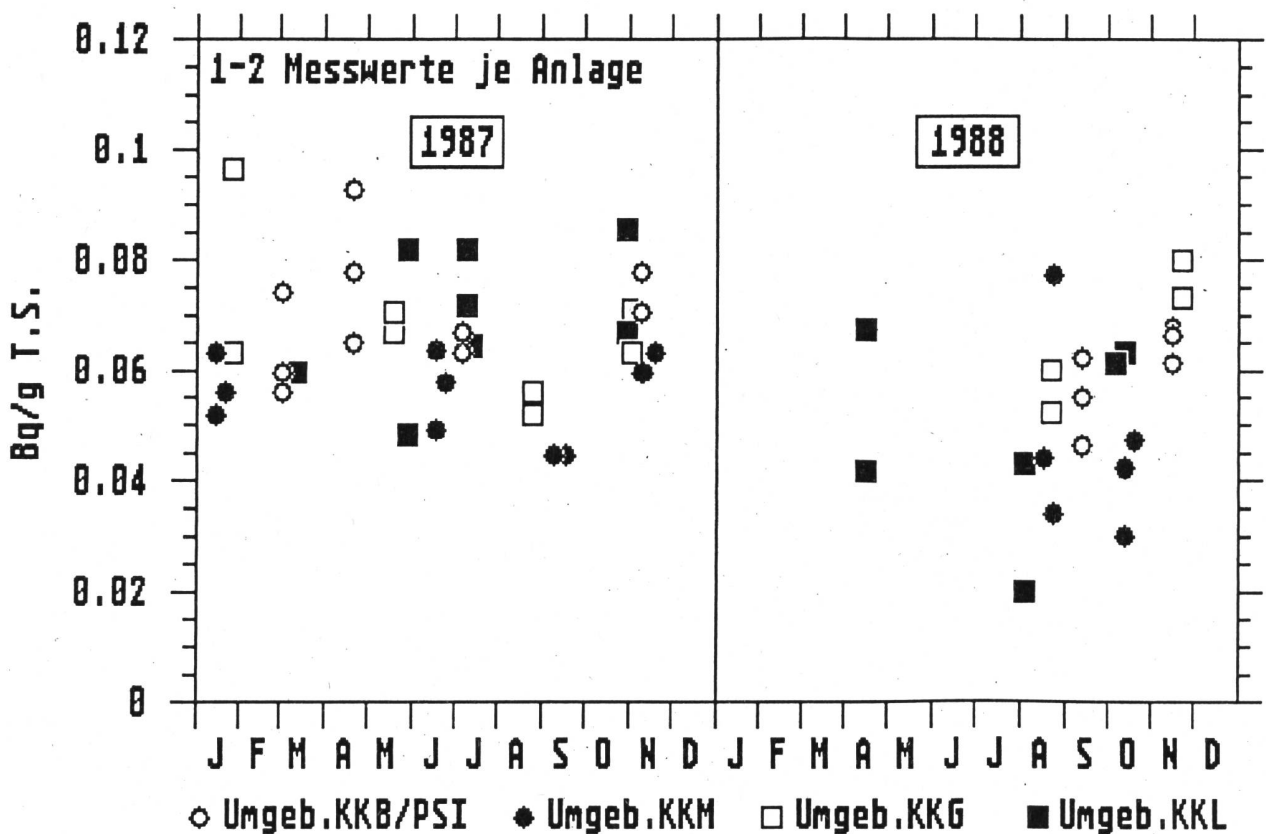


FIG.4.25: Sedimente Umgebung der KKW

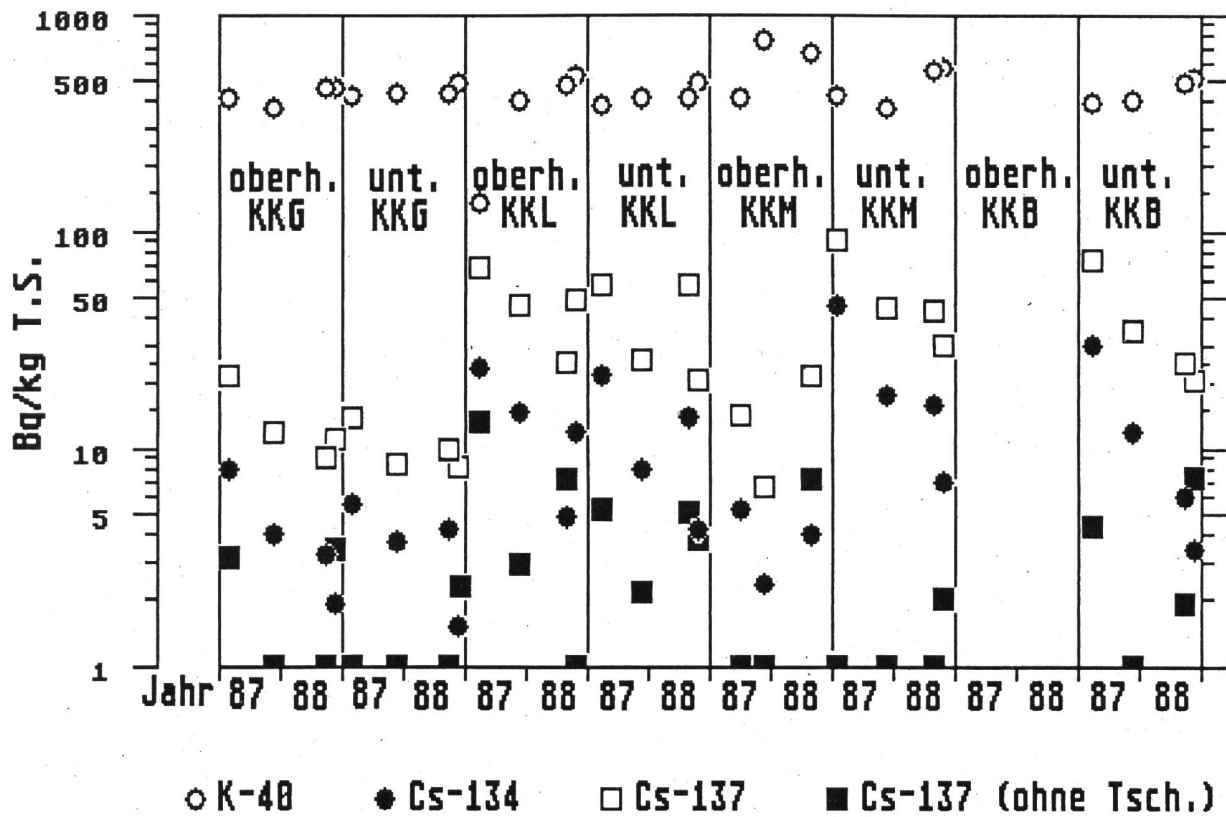


Fig. 4.26.a: C-14-Konzentration in Baumblättern (Referenzstationen)

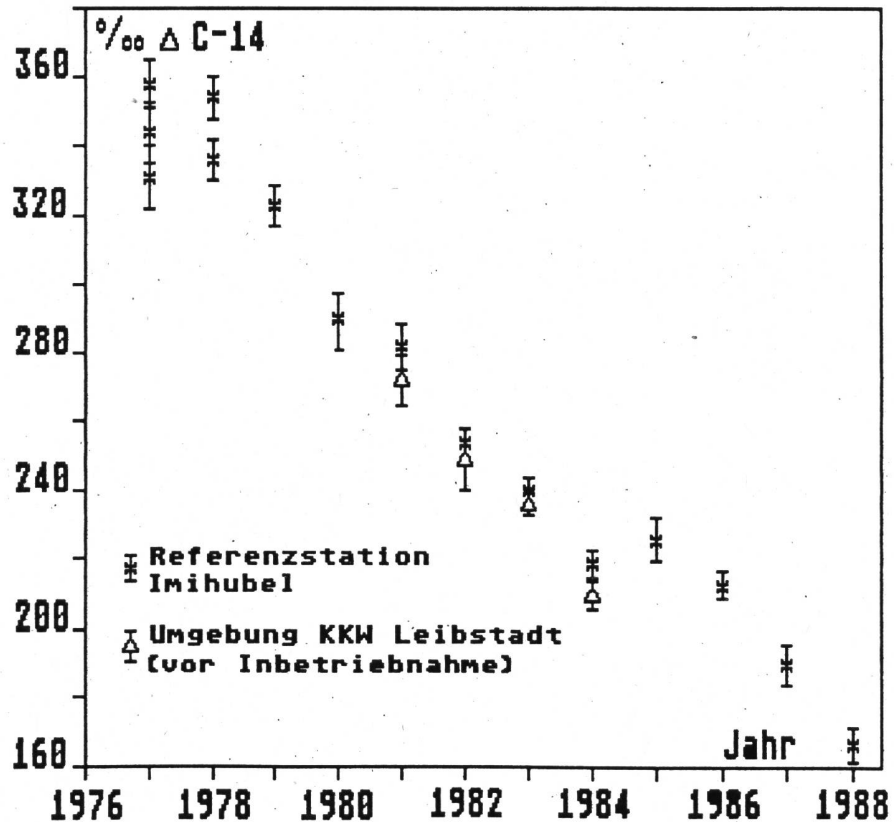


Fig.4.26.b: C-14 in Baumblättern: Umgebung KKL  
(netto; relativ zur Referenz-Station)

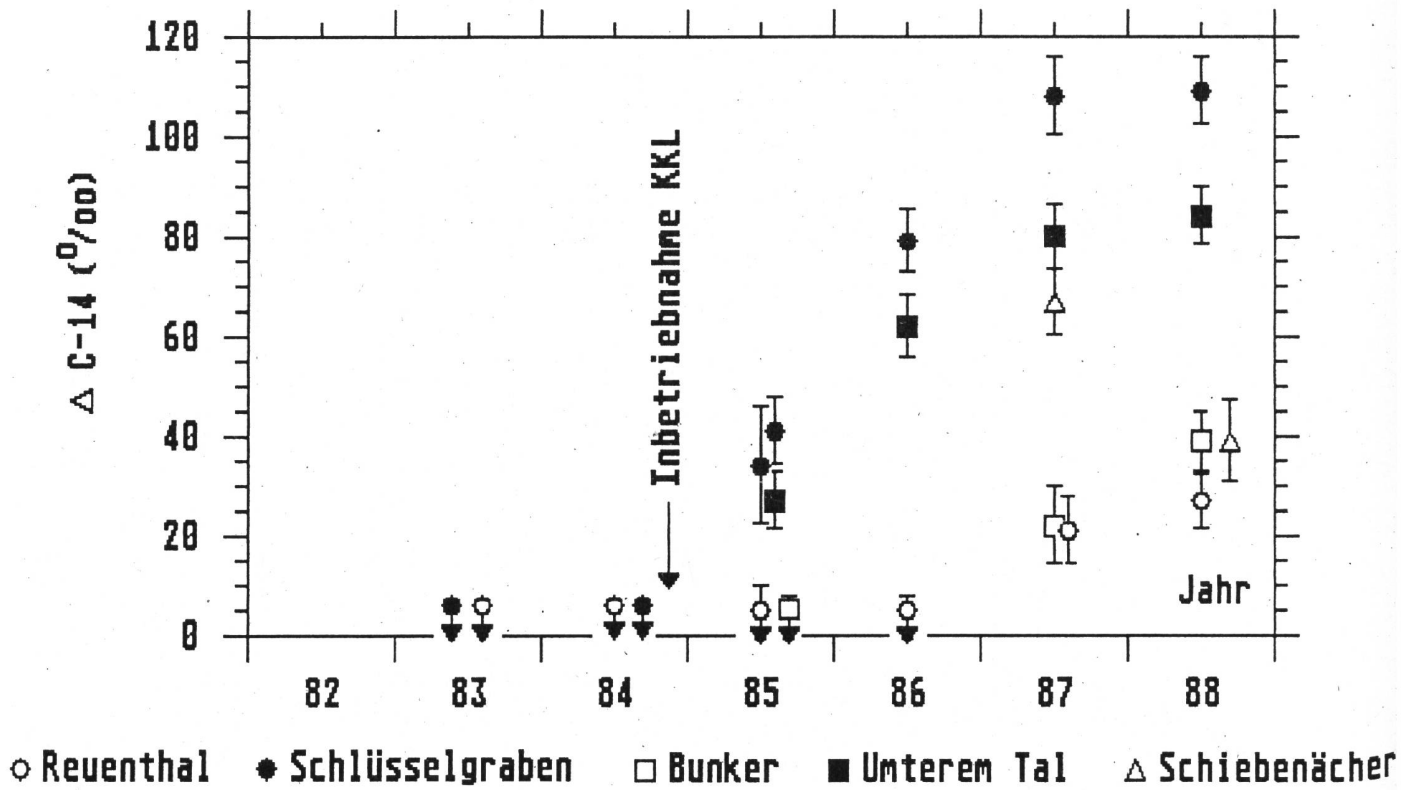


Fig. 4.26.c: Probenahmestellen für C-14-Messungen in der Umgebung KKL.

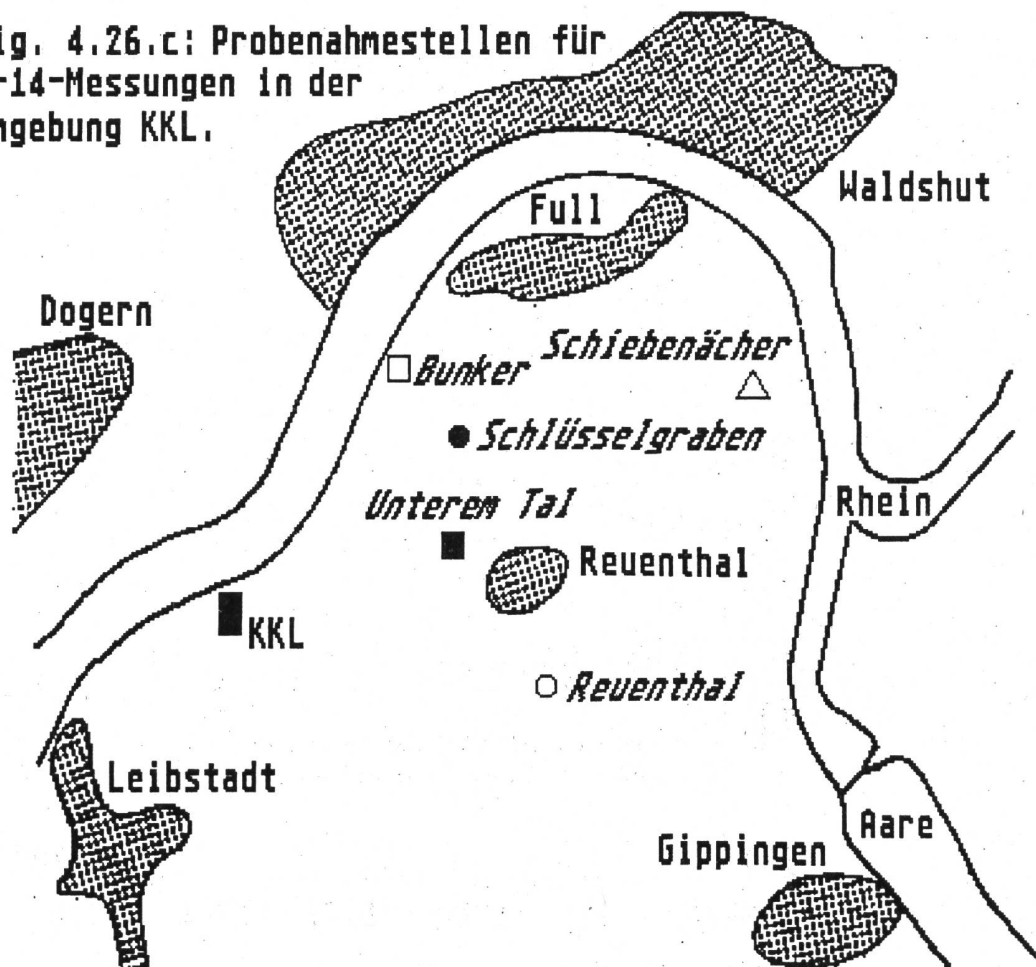




Fig.4.26.d: C-14 in Baumblättern: Umgebung Saphir (PSI)  
(netto; relativ zur Referenz-Station)

